

# K75-74

КОНДЕНСАТОРЫ КОМБИНИРОВАННЫЕ  
С ФОЛЬГОВЫМИ ОБКЛАДКАМИ

PAPER – FILM CAPACITORS WITH ELECTRODES

**Технические условия:** РАЯЦ.673641.001ТУ

Предназначены для работы в цепях переменного тока и в импульсных режимах.

Могут применяться взамен K75-54.

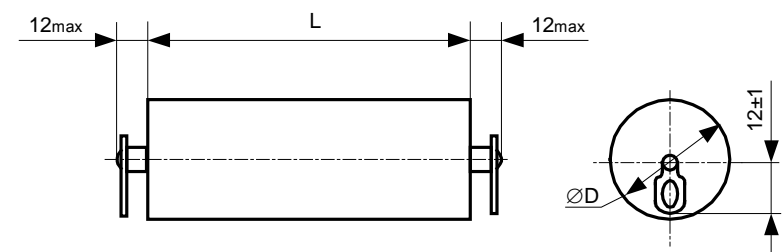
**Конструкция:** в цилиндрических корпусах из полимерных материалов с разнонаправленными выводами.

**Specifications:** РАЯЦ.673641.001ТУ

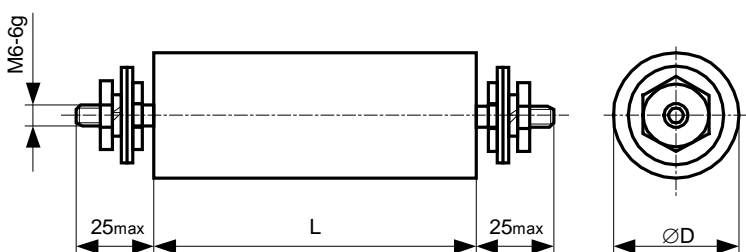
Designed to operate in AC current circuit and in pulse mode.

Can be used instead of K75-54.

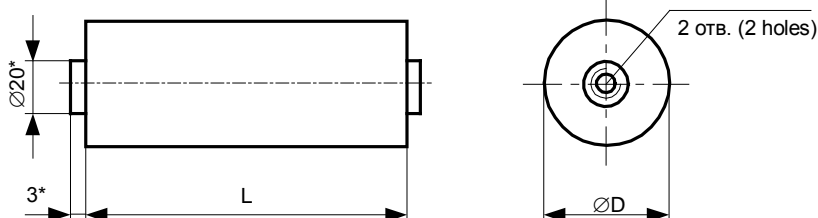
**Design:** cylindrical housing made of polymeric materials. Axial terminals.



Вариант "а"  
Design "a"



Вариант "б"  
Design "b"



Вариант "с"  
Design "c"

\*Размеры определяются по согласованию с заказчиком

|   |                  |  |                  |
|---|------------------|--|------------------|
| Номинальная емкость                           | 0,0047...4,7 мкФ | Rated capacitance                          | 0,0047...4,7 µF  |
| Номинальное напряжение                        | 5,0...50 кВ      | Rated voltage                              | 5.0...50 kV      |
| Допускаемое отклонение емкости                | ±10; ±20%        | Capacitance tolerance                      | ±10; ±20%        |
| Тангенс угла потерь при $f = 1$ кГц           | $\leq 0,006$     | Dissipation factor at $f = 1$ kHz          | $\leq 0.006$     |
| Сопротивление изоляции для $Cr \leq 0,22$ мкФ | $\geq 3000$ МОм  | Insulation resistance at $Cr \leq 0.22$ µF | $\geq 3000$ MOhm |
| Постоянная времени для $Cr > 0,22$ мкФ        | 1000 МОм.мкФ     | Time constant at $Cr > 0.22$ µF            | 1000 MOhm.µF     |
| Интервал рабочих температур                   | -60...+55°C      | Operating temperature range                | -60...+55°C      |
| Наработка                                     | 5000 ч           | Operating time                             | 5000 hours       |

## Обозначение при заказе:

Конденсатор K75-74б – 5 кВ – 2,2 мкФ ± 20%

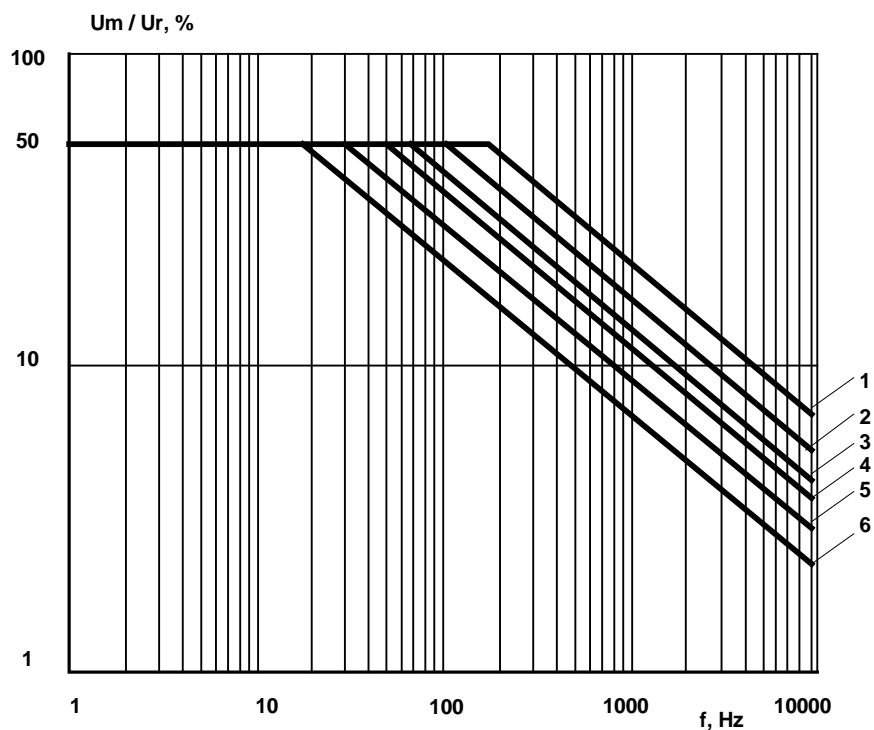
## Ordering example:

Capacitor K75-74b – 5 kV – 2.2 µF ± 20%

| Ur, kV | Cr, $\mu\text{F}$ | D, mm       |                   | L, mm       |                   | Mass, g max | Design       |
|--------|-------------------|-------------|-------------------|-------------|-------------------|-------------|--------------|
|        |                   | Rated value | Limit discrepancy | Rated value | Limit discrepancy |             |              |
| 5.0    | 0.10              | 24          | $\pm 1.65$        | 90          | $\pm 2.7$         | 60          | a (a)        |
|        | 0.22              | 34          | $\pm 1.95$        |             |                   | 120         |              |
|        | 0.47              | 45          |                   |             |                   | 220         |              |
|        | 1.0               | 53          | $\pm 2.3$         | 140         | $\pm 3.15$        | 430         | b (b), c (c) |
|        | 2.2               | 75          |                   |             |                   | 930         |              |
|        | 4.7               | 105         | $\pm 2.7$         |             |                   | 1900        |              |
| 10     | 0.047             | 34          | $\pm 1.95$        | 90          | $\pm 2.7$         | 120         | a (a), b (b) |
|        | 0.10              | 45          |                   |             |                   | 220         |              |
|        | 0.22              | 67          | $\pm 2.3$         |             |                   | 460         |              |
|        | 0.47              | 67          |                   | 140         | $\pm 3.15$        | 760         |              |
|        | 1.0               | 105         | $\pm 2.7$         |             |                   | 1750        |              |
| 20     | 0.022             | 36          | $\pm 1.95$        | 140         | $\pm 3.15$        | 200         | b (b)        |
|        | 0.047             | 50          |                   |             |                   | 410         |              |
|        | 0.10              | 71          | $\pm 2.3$         |             |                   | 830         |              |
|        | 0.22              | 67          |                   | 270         | $\pm 4.05$        | 1600        |              |
|        | 0.47              | 85          | $\pm 2.7$         |             |                   | 3000        |              |
| 30     | 0,01              | 48          | $\pm 1.95$        | 140         | $\pm 3.15$        | 400         | b (b)        |
|        | 0,022             | 70          |                   |             |                   | 830         |              |
|        | 0,047             | 53          | $\pm 2.3$         |             |                   | 850         |              |
|        | 0,1               | 70          |                   | 270         | $\pm 4.05$        | 1650        |              |
| 40     | 0.01              | 36          | $\pm 1.95$        |             |                   | 410         |              |
|        | 0.022             | 48          |                   |             |                   | 760         |              |
|        | 0.047             | 67          | $\pm 2.3$         |             |                   | 1600        |              |
|        | 0.10              | 100         | $\pm 2.7$         |             |                   | 3200        |              |
| 50     | 0.0047            | 50          | $\pm 1.95$        |             |                   | 800         |              |
|        | 0.01              | 70          | $\pm 2.3$         |             |                   | 1650        |              |

Зависимость допускаемой амплитуды переменной синусоидальной составляющей пульсирующего напряжения  $U_m$  от частоты  $f$

*Permissible amplitude of AC sinusoidal component of ripple voltage  $U_m$  as a function of frequency  $f$*



- 1) 5,0 кВ (0,1 мкФ)
- 2) 5 кВ (0,22 мкФ); 10 кВ (0,047 мкФ); 20 кВ (0,022 мкФ);
- 3) 5 кВ (0,47 мкФ); 10 кВ (0,1 мкФ); 20 кВ (0,047 мкФ);  
30 кВ (0,01 мкФ); 40 кВ (0,01; 0,022 мкФ);  
50 кВ (0,0047 мкФ);
- 4) 5 кВ (1,0 мкФ); 10 кВ (0,22 мкФ); 20 кВ (0,1 мкФ);  
30 кВ (0,022 мкФ); 40 кВ (0,047 мкФ); 50 кВ (0,01 мкФ);
- 5) 5 кВ (2,2 мкФ); 10 кВ (0,47 мкФ); 20 кВ (0,22 мкФ);  
30 кВ (0,047; 0,1 мкФ); 40 кВ (0,1 мкФ);
- 6) 5 кВ (4,7 мкФ); 10 кВ (1,0 мкФ); 20 кВ (0,47 мкФ)

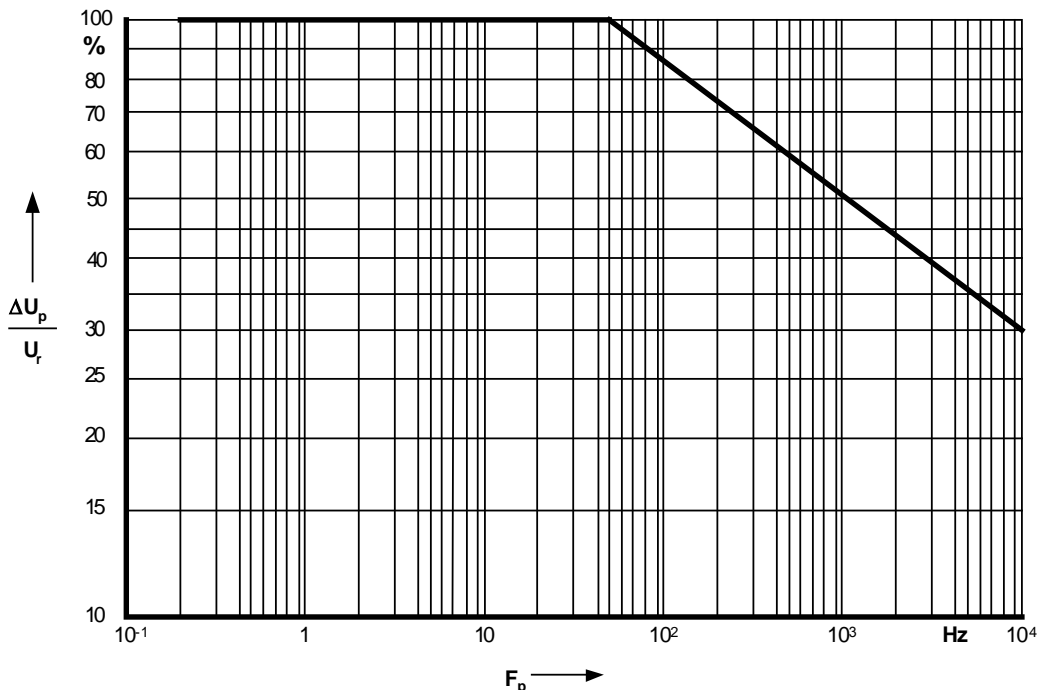
- 1) 5.0 kV (0.1 μF)
- 2) 5 kV (0.22 μF); 10 kV (0.047 μF); 20 kV (0.022 μF);
- 3) 5 kV (0.47 μF); 10 kV (0.1 μF); 20 kV (0.047 μF);  
30 kV (0.01 μF); 40 kV (0.01; 0.022 μF);  
50 kV (0.0047 μF);
- 4) 5 kV (1.0 μF); 10 kV (0.22 μF); 20 kV (0.1 μF)  
30 kV (0.022 μF); 40 kV (0.047 μF); 50 kV (0.01 μF);
- 5) 5 kV (2.2 μF); 10 kV (0.47 μF); 20 kV (0.22 μF);  
30 kV (0.047; 0.1 μF); 40 kV (0.1 μF);
- 6) 5 kV (4.7 μF); 10 kV (1.0 μF); 20 kV (0.47 μF)

Допускаемый размах импульсного напряжения  $\Delta U_p$  не должен превышать значений, определяемых по рисунку ниже.

Peak-to-peak pulse voltage  $\Delta U_p$  must not exceed the values defined from the Figure below.

Зависимость допускаемого размаха импульсного напряжения  $\Delta U_p$  от частоты следования импульсов  $F_p$

Permissible amplitude of peak-to-peak pulse voltage  $U_p$  as a function of pulse repetition rate  $F_p$



При этом допускаемые сочетания  $\Delta U_p \cdot I_p \cdot F_p$  не должны превышать значений, определяемых по формуле:

$$K_t \cdot K_p \cdot \Delta U_p \cdot I_p \cdot F_p \leq P,$$

где  $P$  – параметр, характеризующий конденсатор по допустимой мощности потерь при естественном конвективном теплообмене всей боковой поверхности и определяемый по таблице;

$K_t$  - коэффициент, учитывающий длительность разрядки конденсатора, определяемый в зависимости от длительности импульса тока разрядки по рисунку;

$K_p$  - коэффициент, учитывающий режим разрядки конденсатора, равный:

- 0,8 – для апериодических и колебательных режимов с одной полуволной тока;
- 1,0 - для импульсных режимов с глубиной разрядки (относительное падение напряжения на конденсаторе) до 20%;

- значениям, определяемым по рисунку, - для колебательного затухающего режима разрядки;

$I_p$  – амплитуда тока разрядки конденсатора, А;

$F_p$  - частота следования импульсов.

Permissible combinations of  $\Delta U_p \cdot I_p \cdot F_p$  must not exceed the values calculated from the following formula:

$$K_t \cdot K_p \cdot \Delta U_p \cdot I_p \cdot F_p \leq P,$$

where

P - a parameter specifying loss power tolerance at a natural convective heat transfer along the lateral surface that is given in the table.

$K_t$  - a coefficient that allows for the capacitor discharge time. It depends on the duration of the discharge current pulse and is determined from the Figure below

$K_p$  - a coefficient that allows for the discharge mode of the capacitor and is equal to:

- 0.8 – for the aperiodic and oscillatory modes with one half-wave of the current;
- 1.0 - for the pulse mode with the discharge depths (voltage derating ratio) up to 20%;
- values measured from the figure for oscillatory damping mode of discharge

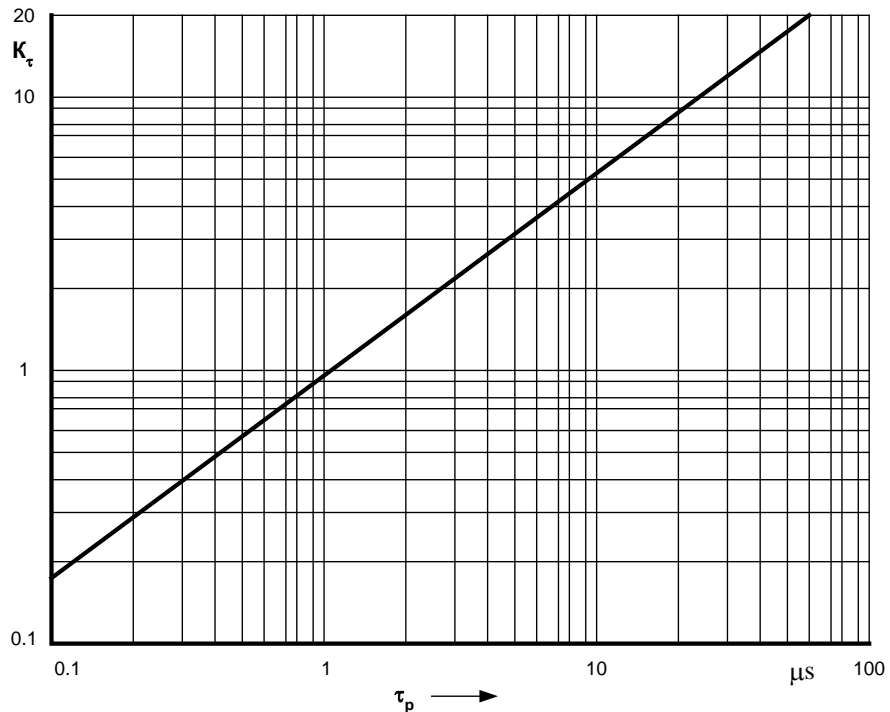
$I_p$  – discharge current amplitude of the capacitor

$F_p$  - pulse repetition rate

| $Cr, \mu F$ | $Ur, kV$ | $P \cdot 10^6, VA/c$ |
|-------------|----------|----------------------|
| 0.10        | 5        | 470                  |
| 0.22        |          | 640                  |
| 0.47        |          | 830                  |
| 1.0         |          | 1290                 |
| 2.2         |          | 1400                 |
| 4.7         |          | 2190                 |
| 0.047       | 10       | 640                  |
| 0.10        |          | 830                  |
| 0.22        |          | 1100                 |
| 0.47        |          | 1590                 |
| 1           |          | 2100                 |
| 0.022       | 20       | 970                  |
| 0.047       |          | 1270                 |
| 0.10        |          | 1640                 |
| 0.22        |          | 2870                 |
| 0.47        |          | 3600                 |
| 0.01        | 30       | 1260                 |
| 0.022       |          | 1640                 |
| 0.047       |          | 2420                 |
| 0.1         |          | 2960                 |
| 0.010       | 40       | 1870                 |
| 0.022       |          | 2290                 |
| 0.047       |          | 2870                 |
| 0.1         |          | 3570                 |
| 0.0047      | 50       | 2350                 |
| 0.01        |          | 2960                 |

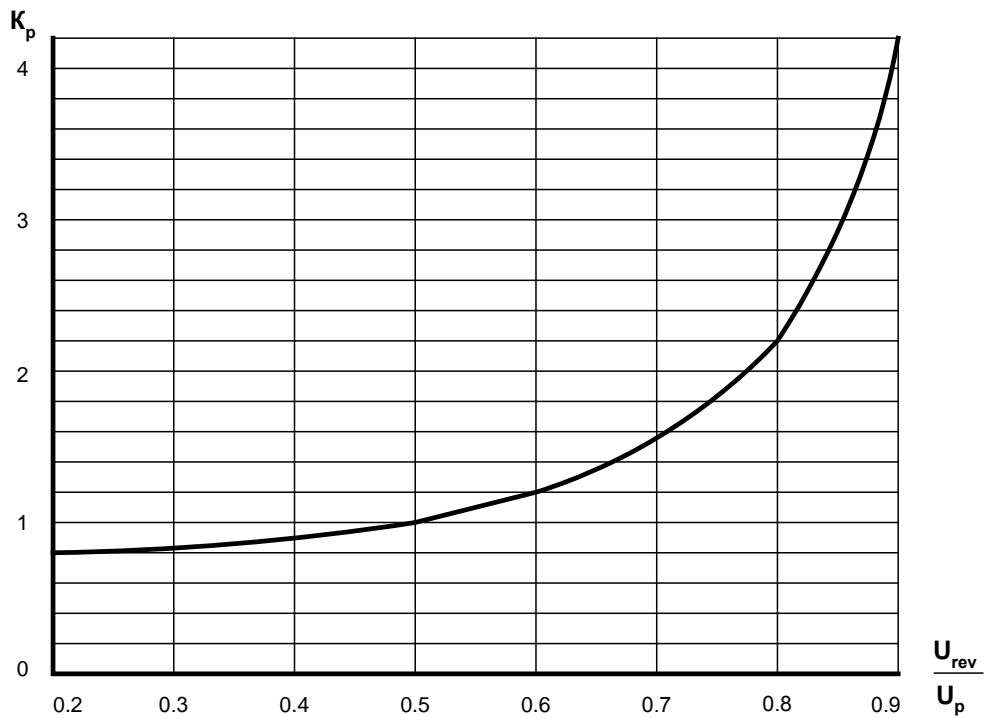
Зависимость  $K_\tau$  от длительности импульса тока разрядки  $\tau_p$   
(на уровне  $0.5 I_p$ )

$K_\tau$  as a function of the discharge current pulse duration  $\tau_p$  (at a level of  $0.5 I_p$ )



Зависимость  $K_p$  от  $U_{rev}/U_p$  для колебательного  
затухающего режима разрядки

$K_p$  as a function of  $U_{rev}/U_p$  for the oscillatory damped mode of discharge



здесь  $U_{rev}$  – амплитуда обратного импульсного напряжения;  
here  $U_{rev}$  – amplitude of a reverse pulse voltage